

физика ядерная

37

СИБИРСКОЕ ОТДЕЛЕНИЕ АН СССР  
ИНСТИТУТ ЯДЕРНОЙ ФИЗИКИ

В.И.Давыденко, И.И.Морозов, Г.В.Росляков

ДИАГНОСТИЧЕСКИЙ ИНЖЕКТОР  
АТОМОВ ВОДОРОДА

Работа поступила - 4 января 1980 г.

---

Ответственный за выпуск - С.Г.ПОПОВ  
Подписано к печати 21.04.1980 г. МН 06759  
Усл. 1,0 печ.л., 0,9 учетно-изд.л.  
Тираж 200 экз. Бесплатно.  
Заказ № II8

---

Отпечатано на ротапринте ИЯФ СО АН СССР

ПРЕПРИНТ 80-II8



Новосибирск

# ДИАГНОСТИЧЕСКИЙ ИНЖЕКТОР АТОМОВ ВОДОРОДА

В.И.Давыденко, И.И.Морозов, Г.В.Росляков

## АННОТАЦИЯ

Для применений в активной корпускулярной диагностике плазмы разработан импульсный перезарядный инжектор атомов изотопов водорода. Длительность импульса тока  $10\pm 200$  мксек, эквивалентный ток атомов  $H^0$  до 3,5 А, энергия атомов изменяется в диапазоне 3 – 25 кэВ. Максимум плотности тока атомов  $H^0$  на расстоянии 1,5 м от инжектора  $250 \text{ mA/cm}^2$ . Свыше 90% первичного ионного пучка составляют атомарные ионы. Инжектор может быть использован для получения пучков атомов  $He^+, Ne^+, Ar^+$ .

## ДИАГНОСТИЧЕСКИЙ ИНЖЕКТОР АТОМОВ ВОДОРОДА

Для применений методов активной корпускулярной диагностики плазмы в ведущихся исследованиях по магнитному удержанию термоядерной плазмы необходимы достаточно интенсивные и монохроматичные по энергии атомарные пучки с малой угловой расходностью и регулируемой энергией. Так в диагностических схемах с локальной искусственной перезарядной мишенью [1-3], с рассеянием атомов пучка на ионах плазмы [3,4] в плазме с  $n_e \sim 10^{13} - 10^{14} \text{ см}^{-3}$ ,

$T_e, T_i \sim 1 \text{ кэВ}$  и диаметром  $\sim 1 \text{ м}$  требуются пучки атомов изотопов водорода с энергией в десятки килоэлектровольт, с эквивалентными токами в несколько ампер, плотностью тока в центре плазменного шнуря (на расстоянии 1-2 м от инжектора)  $\sim 100 \text{ мА/см}^2$ , угловой расходностью  $\sim 1^\circ$  и энергетическим разбросом  $\lesssim 1-2\%$ . Диагностический инжектор атомов водорода, описанный в [5,6], в основном удовлетворяет перечисленным требованиям, однако, в ряде случаев его применение ограничено из-за недостаточной проникающей способности пучка атомов в горячую плотную плазму, вследствие низкой энергии атомов  $\sim 10 \text{ кэВ}$ . Для увеличения глубины зондирования плазмы нами на основе инжектора, описанного в [5], разработан и исследован импульсный диагностический инжектор атомов водорода с более высокой максимальной величиной плотности потока атомов  $H^0$  в пучке — до  $250 \text{ мА/см}^2$  на расстоянии 1,5 м от инжектора и энергией атомов до 25 кэВ.

Конструкция инжектора в части, отличающей его от описанной в [5], схематически изображена на рис.1. Дуговой источник плазмы 2 генерирует водородную плазменную струю, которая при расширении из анодного отверстия источника в вакуум взаимодействует с магнитным полем, возбуждаемым током в "прозрачной" тороидальной обмотке

5. — "магнитной стенкой". В результате отражения плазменного потока от "магнитной стенки" в плоскости плазменной сетки 6 реализуется плазменный ионный эмиттер с постоянной плотностью тока протонной эмиссии в круге

диаметром 5 см. Из части эмиттера диаметром 3 см, задаваемой диафрагмой 7, формируется протонный пучок с помощью многощелевой 4-х электродной системы вытягивания ионов. После фокусировки в импульсной цилиндрической магнитной линзе 11 большая часть ионов перезаряжается в атомы водорода в перезарядной мишени 12 и может быть далее использована для диагностических целей. Конструкция источника плазмы описана в [5,7]. Для увеличения выхода плазмы из анодного отверстия источник плазмы помещен в магнитное поле  $\sim 1$  кЭ, возбуждаемое импульсом тока до 10 А, длительностью 0,08 сек в соленоиде 3. Экран 4 из стали армко экранирует от магнитного поля соленоида 3 область расширения плазменной струи. Введение магнитного поля в область дугового разряда позволило увеличить выход плазмы из источника более чем в 3 раза при неизменной мощности, вкладываемой в разряд. Подробное описание экспериментальных исследований по формированию ионных эмиттеров, получаемых в результате взаимодействия плазменного потока с магнитным полем, локализованным на периферии экспандерного пространства, приведено в [8]. Поэтому мы ограничимся лишь приведением конкретных параметров "магнитной стенки" и характеристик эмиттера диагностического инжектора. Обмотка 5 "магнитной стенки" состоит из 16 витков из изолированного медного провода Ø2,5 мм, размещенных равномерно по азимуту вокруг оси источника; внутренний диаметр обмотки 6 см, внешний - 9 см. Прямоугольный импульс тока в обмотке с амплитудой 0,8 - 1 кА при длительности 250 мксек, неравномерностью плоской вершины импульса тока менее 5%, возбуждает магнитное поле внутри обмотки величиной до 800 Э. На рис.2 приведены радиальные зависимости плотности тока эмиссии протонов, измеренные трехэлектродным сеточным зондом в плоскости плазменной сетки, отстоящей на 6 см от анода источника, с включенной с током 1 кА - кривая 1 и выключенной - кривая 2 "магнитной стенкой". Из сравнения кривых на рис.2 видно, что магнитное поле "стенки" отражает плазменную струю таким образом, что в плоско-

сти вблизи торца обмотки, в круге диаметром 5 см плотность потока плазмы увеличивается более чем в 1,5 раза и неоднородность потока не превышает 5%. Изменением тока в соленоиде 3 от 0 до 10 А и тока дугового разряда от 100 до 600 А можно регулировать плотность тока эмиссии протонов от 0,01 до 1 А/см<sup>2</sup>, при этом во всем диапазоне регулировки сохраняется однородность эмиттера.

Формирование протонного пучка из плазмы осуществляется многощелевой четырехэлектродной системой вытягивания ионного пучка, описанной в [9]. Распределение потенциалов на электродах системы вытягивания следующее: 1) плазменная сетка 6 имеет плавающий потенциал, который в момент попадания на нее плазмы становится близким к потенциальному анода источника плазмы, подключенного к выходу модулятора прямоугольного стабилизированного высоковольтного импульса напряжения  $U_0 = 3 \pm 25$  кВ, длительностью 250 мксек; 2) управляющая сетка 8 имеет импульсный потенциал  $0,93 U_0$  и выполняет роль фокусирующей линзы; 3) вытягивающая сетка 9 имеет постоянный отрицательный по отношению к заземленному дрейфовому электроду 10 равный  $-0,03 U_0$ , служащий для предотвращения попадания в вытягивающий промежуток вторичных электронов, возникающих в дрейфовом пространстве пучка вследствие вторичной ион-электронной эмиссии и ионизации молекул остаточного газа и перезарядной мишени. Выбор диаметра пучка в 3 см, задаваемый диафрагмой 7 из стали Х18Н9Т толщиной 0,05 мм, связан с ограниченной мощностью модулятора импульса вытягивающего напряжения. Нити всех сеток 6, 8, 9 изготовлены из никелевых проволочек Ø 0,15 мм, закрепленных электролитически осажденной медью на кольцевых медных оправках. Вытягивающая сетка отстоит от управляющей сетки на расстоянии 3,2 мм, которая в свою очередь отстоит от плазменной сетки на расстоянии 0,8 мм, шаг всех сеток 0,8 мм. Сетки изготовлены и выставлены таким образом, что их нити находятся друг против друга с точностью  $\pm 0,02$  мм.

Схема питания дугового источника плазмы аналогична

описанной в [7], питание соленоида и "магнитной стенки" осуществляется от тиристорных модуляторов тока. Высоко - вольтный импульс вытягивающего напряжения формируется модулятором с системой импульсной стабилизации отрицательной обратной связью, обеспечивающей стабильность энергии атомов в пучке на протяжении всего рабочего импульса не хуже  $\pm 0,5\%$ . Модулятор помимо инжектора нагружен высоковольтным делителем с полным сопротивлением 15 кОм, с которого подается потенциал на управляющую сетку. Для предотвращения разрушения сеток при пробоях схемы модулятора вытягивающего напряжения и питания вытягивающей сетки оборудованы электронными системами защиты, обывающими напряжения на электродах за время  $\sim 1$  мксек после начала пробоя.

Подача рабочего газа в источник плазмы и перезарядную мишень производится импульсно быстродействующими электромагнитными клапанами, описанными в [10]. Расход водорода в источнике плазмы  $\sim 3 \cdot 10^{17}$  молекул, а в перезарядной мишени  $\sim 10^{17}$  молекул за импульс. Допустимый рабочий вакуум для нормальной работы инжектора не хуже  $10^{-4}$  Торр. Частота следования импульсов определяется возможностями существующей схемы питания и составляет 0,2 Гц. Инжектор размещен в вакуумно плотном корпусе 1 инжектора [5] с  $\varnothing 250$  мм и длиной 500 мм без собственной системы откачки, прифланцовывающемуся к исследуемой системе.

Исследование характеристик пучка из диагностического инжектора было проведено по экспериментальной схеме, описанной в [5]. Помимо полного потока атомов в пучке экспериментально определялось также распределение плотности потока атомов в пучке и зависимости этих величин от энергии. Относительное распределение плотности потока атомов в поперечном сечении пучка определялось датчиками, измеряющими ток вторичной атомно-электронной эмиссии. Абсолютное определение плотности потока атомов проводилось калориметрически с помощью теплового датчика [5]. В работе [5] было установлено, что увеличение энергети-

ческого разброса атомов в пучке вследствие неупругих столкновений в перезарядной мишени с необходимой толщиной достаточно мало и составляет  $\sim 30$  эВ. Нестабильность импульса вытягивающего напряжения превосходит эту величину  $\sim \pm 100$  эВ при энергии 25 кэВ и фактически определяет интегральный энергетический разброс атомов в пучке. Поэтому специальные измерения энергетического спектра атомов не проводились.

Минимальная расходимость формируемых из плазмы ионных пучков с использованием многощелевых электродов достигается при оптимальной плотности тока ионной эмиссии  $j$  для данной энергии частиц пучка  $E : j \sim E^{3/2}$ . Экспериментально найденная энергетическая зависимость полного потока атомов в пучке, сформированного в оптимальном режиме, хорошо согласуется с ожидаемой и имеет вид  $I \sim F(E) E^{3/2}$ , где  $F(E)$  - коэффициент конверсии протонов в атомы в равновесной перезарядной мишени согласно данным [11]. При энергии 25 кэВ полный эквивалентный ток пучка атомов водорода из инжектора составил 3,5 А. На рис.3 приведены распределения плотности потока атомов водорода с энергией 25 кэВ, измеренные в плоскости, отстоящей на 1,5 метра от среза фланца инжектора, для пучка, полученного при оптимальных условиях эмиссии. Кривая 1, соответствующая направлению, параллельному нитям сеток системы вытягивания, и кривая 2, соответствующая перпендикулярному направлению, измерены при отсутствии фокусировки первичного протонного пучка линзой 11 на рис.1. Расходимость пучка в направлении вдоль нитей сеток полностью определяется поперечной энергией ионов в плазменном эмиттере. Вклад в расходимость пучка в направлении поперек нитей сеток вносят как начальные скорости ионов в плазме, так и наличие поперечных по отношению к направлению движения пучка электрических полей в системе вытягивания, связанное с дискретной структурой сеточных электродов. Расчетная расходимость пучка, сформированного одной ячейкой 4-х электродной системы при оптимальной плотности тока про-

тонной эмиссии из плазмы с нулевой поперечной ионной температурой, для выбранных параметров сеток согласно 9 составляет  $1,1 \cdot 10^{-2}$  рад. Экспериментально наблюдаемая расходимость существенно превышает расчетную величину. Это превышение связано со свойствами используемой четырехэлектродной системы вытягивания, в которой ускоренный пучок на выходе из элементарной ячейки имеет поперечный размер примерно вдвое меньший ширины эмиттирующей полоски плазмы, а разброс поперечных скоростей, вследствие сохранения поперечного фазового объема, вдвое больший, чем у ионов плазменного эмиттера. Эффективная поперечная температура ионов в плазменном эмиттере с "магнитной стенкой" составляет 3-4 эВ [8] с учетом удвоения ее величины в системе вытягивания, результирующая расчетная расходимость в направлении перпендикулярном нитям сеток совпадает с экспериментально измеренной. Кривые 3,4 на рис.3 соответствуют распределениям интенсивности пучка атомов водорода, измеренным на расстоянии 1,5 м от инжектора в двух взаимно перпендикулярных направлениях при оптимальной фокусировке протонного пучка магнитной линзой. Максимальная плотность эквивалентного тока атомов водорода в сфокусированном пучке составляет по калориметрическим измерениям  $250 \text{ mA/cm}^2$ .

Полный поток атомов водорода в сфокусированном пучке, имеющем размеры  $5,5 \times 6,5 \text{ см}^2$ , составил 2,5 А. Уменьшенное значение измеренного полного потока атомов связано с тем, что в опытах пучок коллимировался диафрагмой  $\varnothing 4 \text{ см}$ , установленной на расстоянии 95 см от инжектора, моделирующей геометрию установки, на которой будет использоваться инжектор. В неколлинированном пучке заметная доля полного потока атомов приходится на ореол, окружающий центральную часть пучка. Этот ореол возникает за счет того, что на входе в магнитную линзу пучок состоит только на 70% из протонов, а остальная часть пучка - атомы, образовавшиеся из протонного пучка при перезарядке в облакке рабочего газа источника плазмы, находящегося сразу же за вытягивающей сеткой.

В результате проведенного массспектрометрического анализа первичного ионного пучка из инжектора установлено, что доля протонов в пучке весьма высока 93%, остальная часть пучка состоит из ионов  $H_2^+$  - 2,5%,  $H_3^+$  - 0,5% и ионов с массами 12-40 - 4%. Основная часть неводородных ионов имеет массы 12, 16-18, 26 и, по-видимому, соответствует  $C^+$ ,  $O^+$ ,  $OH^+$ ,  $H_2O^+$ ,  $CO^+$ . Эти ионы, по-видимому, возникают в эмиттирующей плазме вследствие ионизации и перезарядки молекул газа, находившихся на плазменной сетке и деталях "магнитной стенки" и сбитых плазменной струей. Оцениваемая доля примесных ионов в сфокусированном и коллинированном пучке составляет 1%.

Нами были проведены эксперименты по получению из инжектора пучков атомовдейтерия и инертных газов: гелия, неона и аргона. Плазма, эмиттирующая ионы необходимого сорта, создавалась дуговым разрядом в источнике плазмы, в который напускался соответствующий газ. В качестве перезарядной мишени использовался импульсно напускаемый водород. Из-за ограниченных возможностей систем питания "магнитной стенки" и линзы, эти элементы работали только в опытах с водородным, дейтериевым и гелиевым пучками, а в опытах с пучками других атомов были выключены. Вследствие этого получение пучков атомов неона и аргона велось в условиях недостаточной эмиттирующей способности и значительной 15-20% неоднородности плазменного эмиттера. Это приводило к увеличенной расходимости сформированных пучков и ограничило максимальное значение энергии при оптимальном, в смысле угловой расходимости, режиме работы инжектора. Для пучка атомов дейтерия все характеристики совпадают с приведенными для пучка атомов водорода, кроме полного тока и плотности тока, величины которых для дейтериевого пучка меньше в  $\sqrt{2} F(E)/F(E/2)$  раз. В таблице 1 приведена сводка данных, характеризующих возможности использования разработанного инжектора в режиме получения пучков атомов изотопов водорода и инертных газов. Помимо максимальной энергии  $E_m$ , эквивалентного тока атомов -  $I_m$  в пучке, плотности тока -  $j_m$ , измеренной на расстоянии 1,5 м от среза фланца инжектора,

приведен состав основной части первичного ионного пучка, определяющий массовый и энергетический спектр атомарного пучка. Двухзарядные и трехзарядные ионы и соответственно полученные из них атомы имеют энергию  $2E$ ,  $3E$ , их доля слабо зависит от тока дугового разряда источника плазмы и количества напускаемого в него газа.

Авторы выражают благодарность Г.И.Димову за полезные обсуждения и поддержку работы, В.Я.Савкину, В.С.Белкину, принявшим участие в разработке схем питания, П.А.Журавлеву за помощь в изготовлении инжектора.

#### Л и т е р а т у р а :

1. А.М.Кудрявцев, А.Ф.Сорокин. "Письма в ЖЭТФ", 18, 486, 1973.
2. В.В.Афросимов, М.П.Петров, В.А.Садовников. "Письма в ЖЭТФ", 18, 510, 1973.
3. Е.В.Александров, В.В.Афросимов, Е.Л.Березовский, А.Б.Извозчиков, А.И.Кисляков, В.И.Марасев, Е.А.Михайлов, М.П.Петров, Г.В.Росляков "Письма в ЖЭТФ", 29, 3, 1979
4. В.В.Афросимов, И.П.Гладковский, А.И.Кисляков. "Письма в ЖТФ", 3, 10, 1977.
5. Г.И.Димов, Г.В.Росляков, В.Я.Савкин. ПТЭ, № 4, 29, 1977.
6. Г.В.Росляков, В.Я.Савкин. ПТЭ, № 1, 148, 1978.
7. Г.И.Димов, Г.В.Росляков. ПТЭ, № 1, 29, 1974.
8. Г.В.Росляков. Препринт ИЯФ СО АН СССР № 80-19, Новосибирск, 1979.
9. В.И.Давыденко, Г.В.Росляков, Н.Г.Хавин. Препринт ИЯФ СО АН СССР № 80-35, Новосибирск, 1979.
10. Г.Е.Деревянкин, В.Г.Дудников, П.А.Журавлев. ПТЭ, № 5, 168, 1975.
11. S. K. Allison, Rev. Mod. Phys., 30, 1137, 1958

Таблица 1

Подписи к рисункам:

Рис.1. Конструкция инжектора

1 - корпус; 2 - источник плазмы; 3 - соленоид;  
 4 - экран соленоида; 5 - обмотка "магнитной  
 стенки"; 6 - плазменная сетка; 7 - диафрагма;  
 8 - управляющая сетка; 9 - вытягивающая сетка;  
 10 - дрейфовый электрод; 11 - магнитная линза;  
 12 - перезарядная мишень.

Рис.2. Радиальные зависимости плотности тока эмиссии протонов.

1 - "магнитная стенка" включена; 2 - выключена.

Рис.3. Распределение плотности потока атомов водорода с энергией 25 кэВ в двух взаимно перпендикулярных направлениях на расстоянии 1,5 м от инжектора.  
 1-2 - при оптимальной фокусировке; 3-4 - без фокусировки.

Газ	$E_m$ кэВ	$I_m$ А	$j_m$ мА/см <sup>2</sup>	Состав ионного пучка %
H <sub>2</sub>	25	3,5	250	H <sup>+</sup> - 93; H <sub>2</sub> <sup>+</sup> - 2,5; H <sub>3</sub> <sup>+</sup> - 0,5 примеси - 4
D <sub>2</sub>	25	2,9	205	
He	23	2,0	90	He <sup>+</sup> - 95,5; He <sup>++</sup> - 0,7; примеси - 3,8
Ne	20	1,1	15	Ne <sup>+</sup> - 62,5; Ne <sup>++</sup> - 35; примеси - 2,5
Ar	22	0,6	12	Ar <sup>+</sup> - 27; Ar <sup>++</sup> - 58; Ar <sup>+++</sup> - 14 примеси - 1

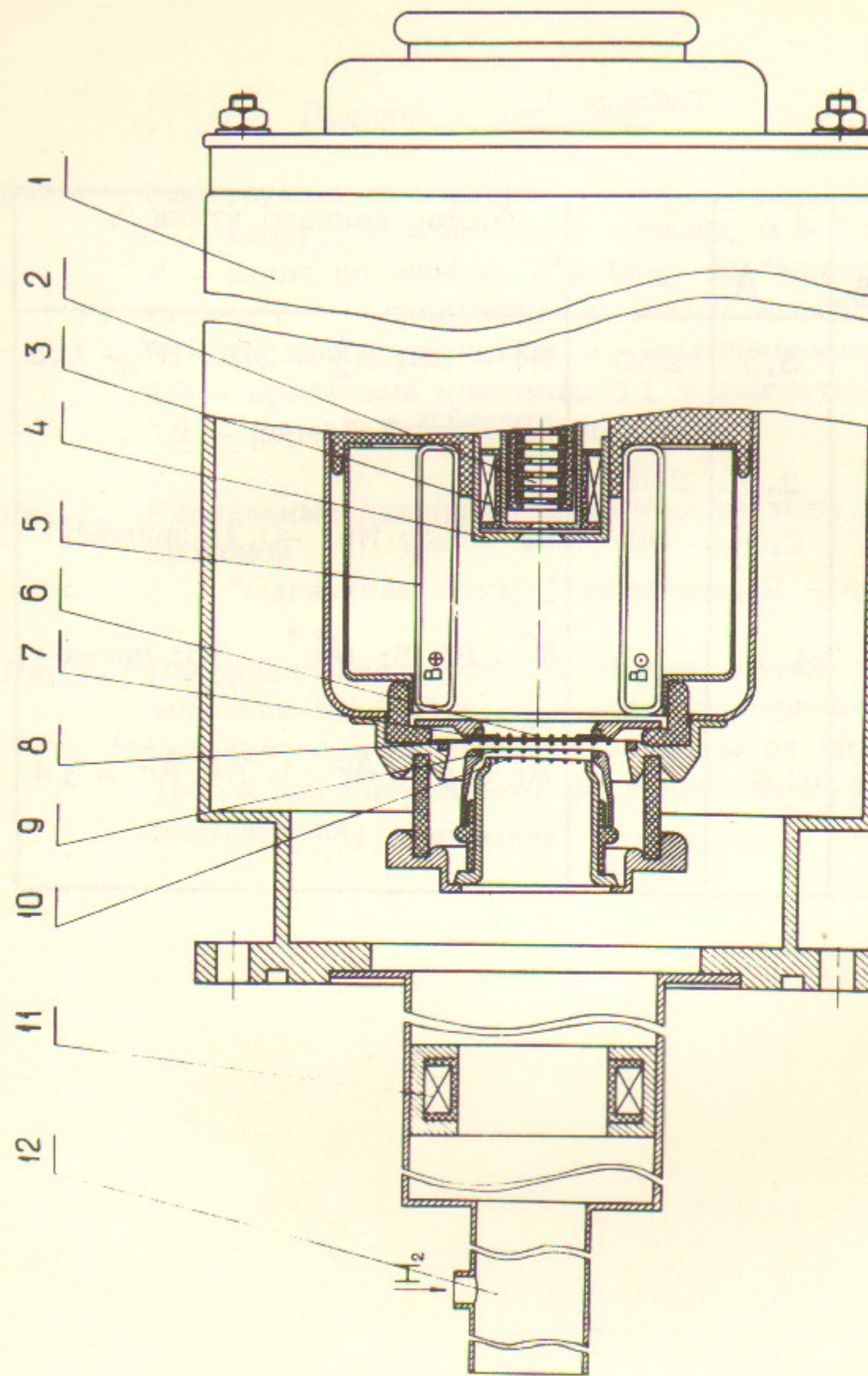


Рис.1.

- 14 -

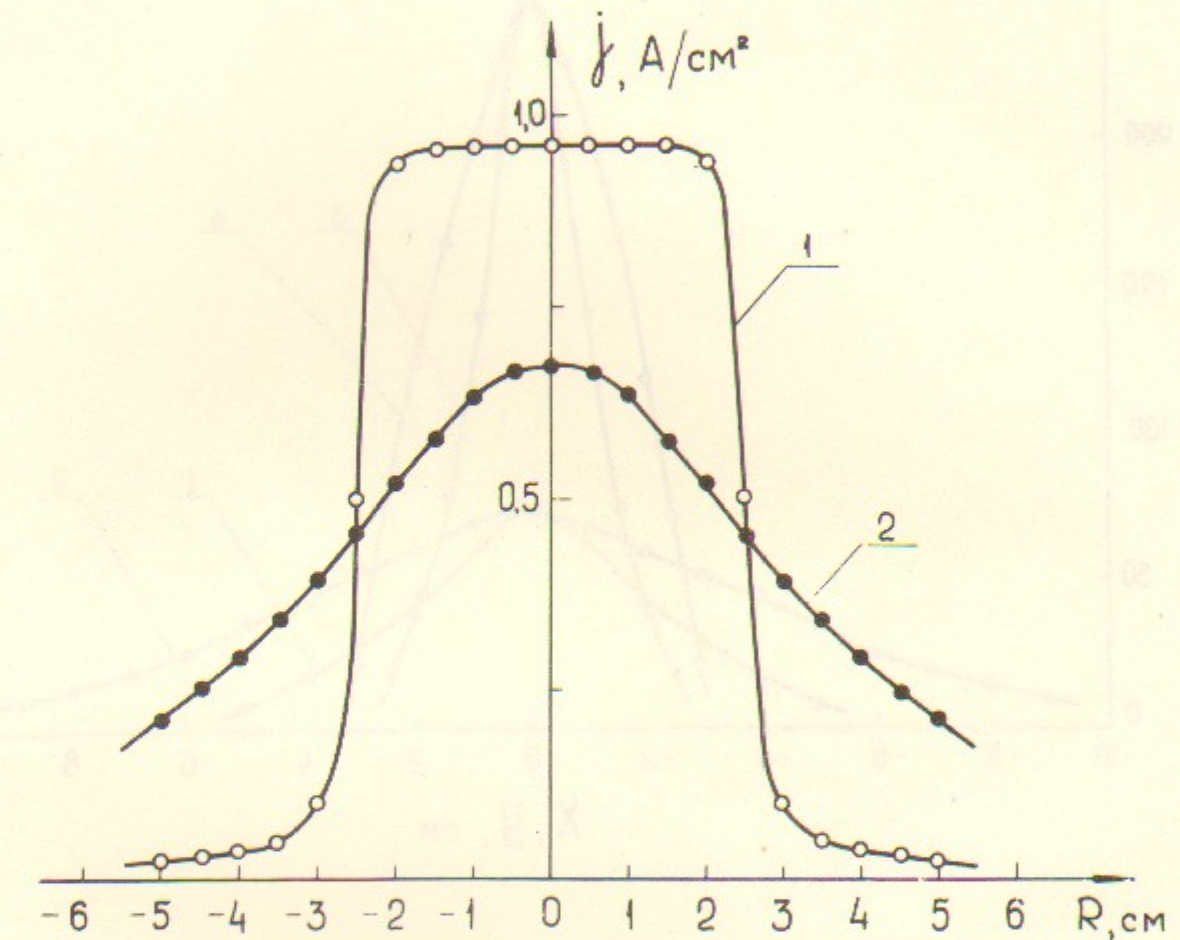


Рис.2.

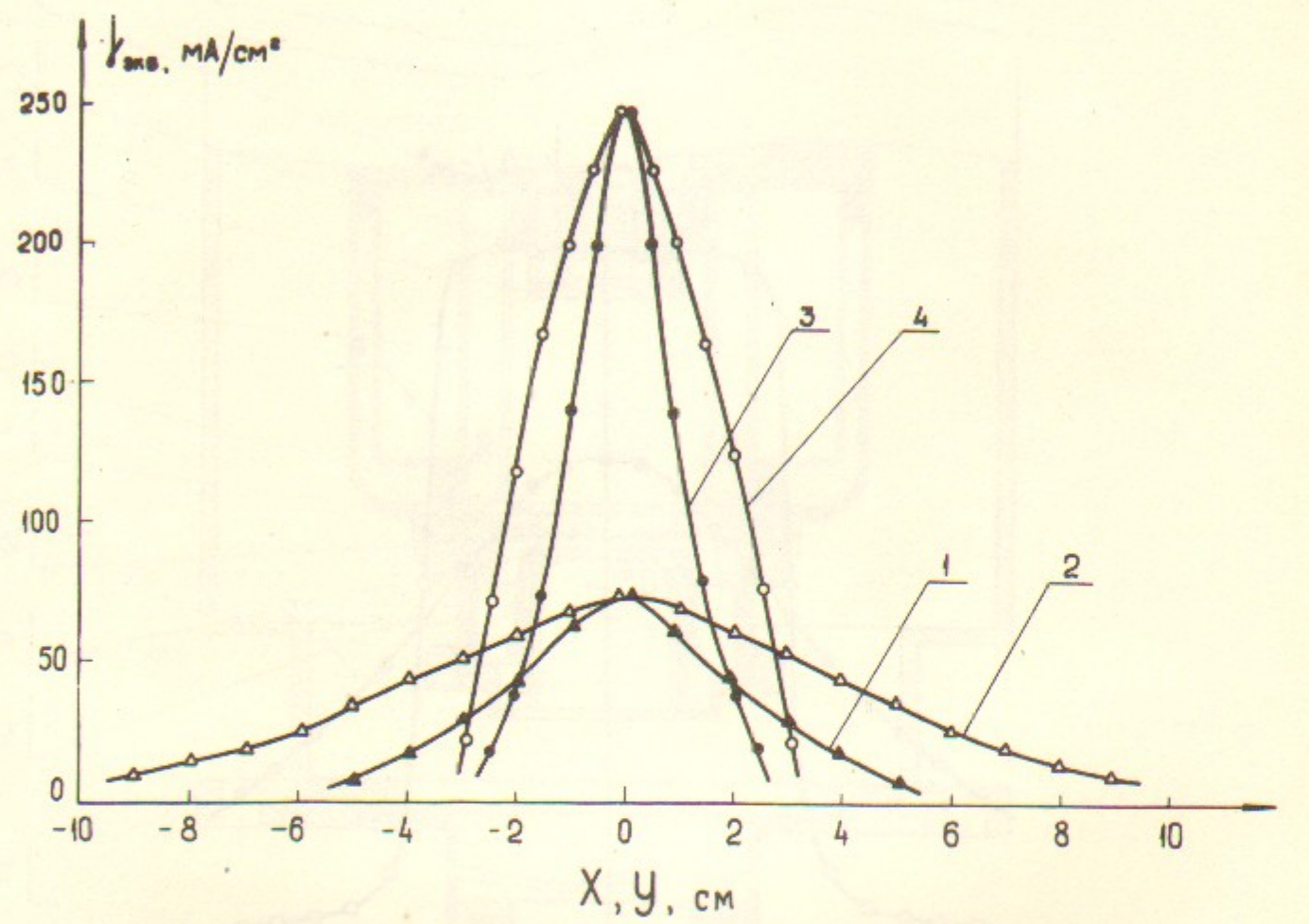


Рис.3.